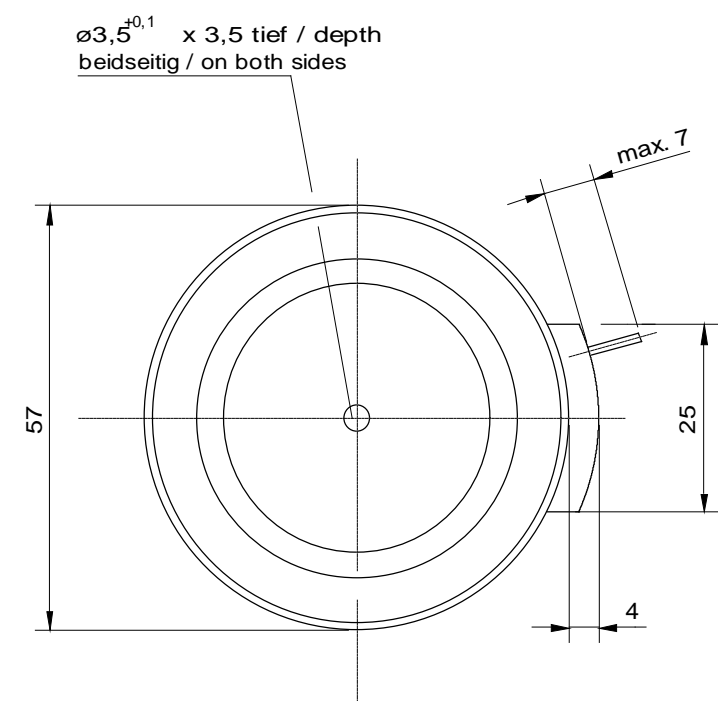
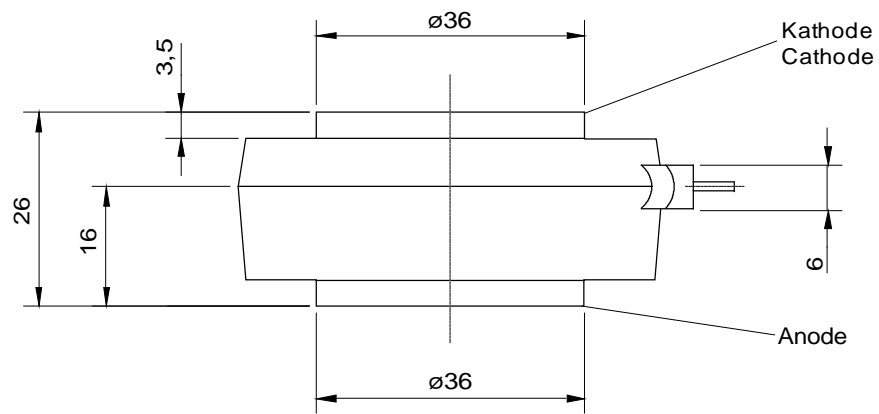


European Power-
Semiconductor and
Electronics Company
GmbH + Co. KG

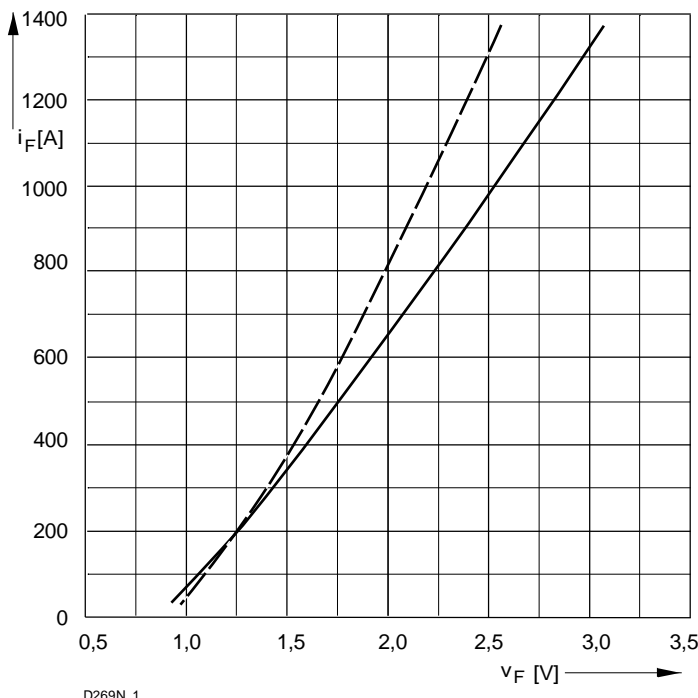
Leistungsgleichrichterdioden Power Rectifier Diodes D 269 N



D 269 N

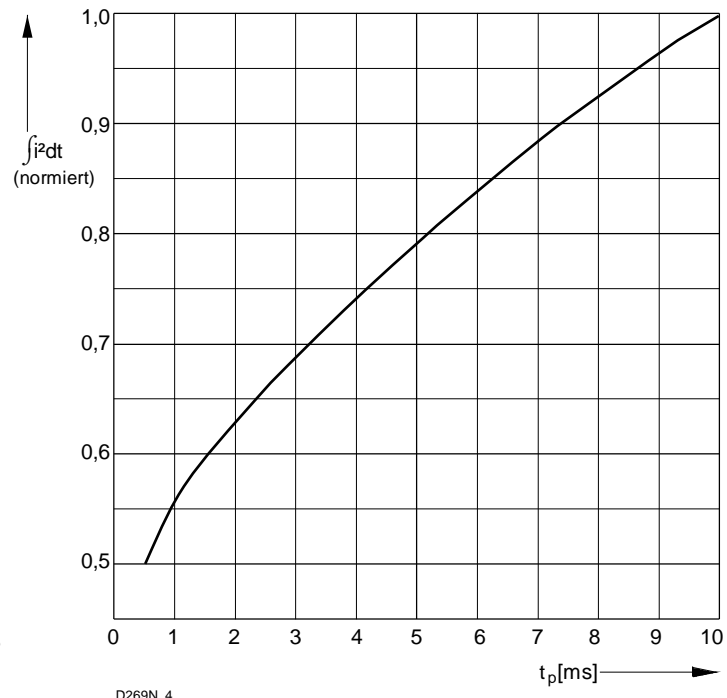
| Elektrische Eigenschaften | | | | | | |
|----------------------------------|---|--|---------------------|------------|-----------------------|---------------------------|
| Electrical properties | | | | | | |
| Höchstzulässige Werte | | Maximum rated values | | | | |
| Periodische Spitzensperrspannung | repetitive peak reverse voltage | $t_{vj} = -40^\circ\text{C} \dots t_{vj \max}$ | V_{RRM} | 2800, 3200 | V | |
| | | | | 3600 | V | |
| Stoßspitzensperrspannung | non-repetitive peak reverse voltage | $t_{vj} = +25^\circ\text{C} \dots t_{vj \max}$ | $V_{RSM} = V_{RRM}$ | + 100 | V | |
| Durchlaßstrom-Grenzeffektivwert | RMS forward current | | I_{FRMSM} | 550 | A | |
| Dauergrenzstrom | mean forward current | $t_c = 100^\circ\text{C}$ | I_{FAVM} | 270 | A | |
| | | $t_c = 75^\circ\text{C}$ | | 350 | A | |
| Stoßstrom-Grenzwert | surge forward current | $t_{vj} = 25^\circ\text{C}, t_p = 10 \text{ ms}$ | I_{FSM} | 4,8 | kA | |
| | | $t_{vj} = t_{vj \max}, t_p = 10 \text{ ms}$ | | 4 | kA | |
| Grenzlastintegral | $I^2 t$ -value | $t_{vj} = 25^\circ\text{C}, t_p = 10 \text{ ms}$ | $I^2 t$ | 115 | kA^2s | |
| | | $t_{vj} = t_{vj \max}, t_p = 10 \text{ ms}$ | | 80 | kA^2s | |
| Charakteristische Werte | | Characteristic values | | | | |
| Durchlaßspannung | on-state voltage | $t_{vj} = t_{vj \max}, i_F = 1,05 \text{ kA}$ | V_T | max. | 2,6 | V |
| Schleusenspannung | threshold voltage | $t_{vj} = t_{vj \max}$ | $V_{T(TO)}$ | | 0,86 | V |
| Ersatzwiderstand | slope resistance | $t_{vj} = t_{vj \max}$ | r_T | | 1,54 | $\text{m}\Omega$ |
| Sperrstrom | reverse current | $t_{vj} = t_{vj \max}, V_R = V_{RRM}$ | i_R | max. | 20 | mA |
| Thermische Eigenschaften | | Thermal properties | | | | |
| Innerer Widerstand | thermal resistance, junction to case | beidseitig/two-sided, $\Theta = 180^\circ \text{ sin}$ beidseitig/two sided, DC | R_{thJC} | max. | 0,098 | $^\circ\text{C}/\text{W}$ |
| | | Anode/anode, $\Theta = 180^\circ \text{ sin}$ Anode/anode, DC | | max. | 0,158 | $^\circ\text{C}/\text{W}$ |
| | | Kathode/cathode, $\Theta = 180^\circ \text{ sin}$ Kathode/cathode, DC | | max. | 0,150 | $^\circ\text{C}/\text{W}$ |
| | | | | max. | 0,233 | $^\circ\text{C}/\text{W}$ |
| | | | | max. | 0,225 | $^\circ\text{C}/\text{W}$ |
| Übergangs-Wärmewiderstand | thermal resistance,case to heatsink | beidseitig /two-sided einseitig /single-sided | R_{thCK} | max. | 0,011 | $^\circ\text{C}/\text{W}$ |
| | | | | max. | 0,022 | $^\circ\text{C}/\text{W}$ |
| Höchstzul.Sperrsichttemperatur | max. junction temperature | $t_{vj \max}$ | | | 150 | $^\circ\text{C}$ |
| Betriebstemperatur | operating temperature | $t_{c op}$ | | | -40...+150 | $^\circ\text{C}$ |
| Lagertemperatur | storage temperature | t_{stg} | | | -40...+150 | $^\circ\text{C}$ |
| Mechanische Eigenschaften | | Mechanical properties | | | | |
| Si-Element mit Druckkontakt | Si-pellet with pressure contact | $\varnothing = 23 \text{ mm}$ | | | | |
| Anpreßkraft | clamping force | Gehäuseform/case design T | F | | 3,2...7,6 | kN |
| Gewicht | weight | | G | typ. | 270 | g |
| Kriechstrecke | creepage distance | | | | 36 | mm |
| Feuchtekategorie | humidity classification | DIN 40040 | | | | C |
| Schwingfestigkeit | vibration resistance | f = 50 Hz | | | 50 | m/s^2 |
| Maßbild | outline | | | | Seite/page | |

D 269 N



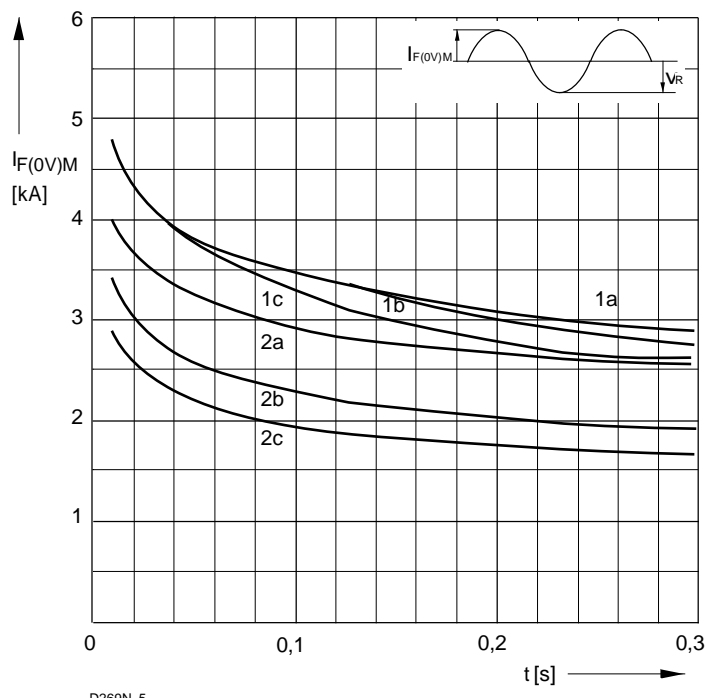
D269N_1

Bild/Fig. 1
Grenzdurchlaßkennlinie
Limiting forward characteristic $i_F = f(v_F)$
— $t_{vj} = 160^\circ\text{C}$
- - - $t_{vj} = 25^\circ\text{C}$



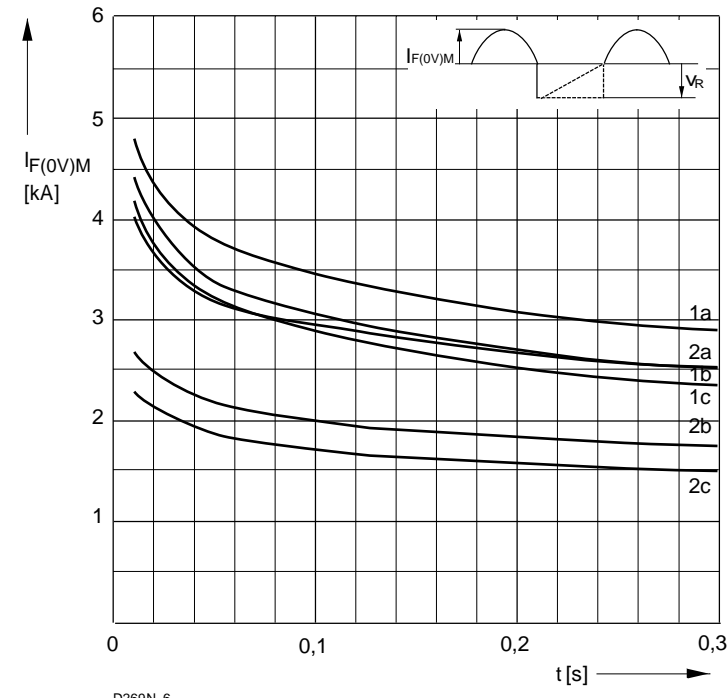
D269N_4

Bild / Fig. 2
Normiertes Grenzlastintegral / Normalized $i^2 t$
 $\int i^2 dt = f(t_p)$



D269N_5

Bild / Fig. 3
Grenzstrom / Maximum overload forward current $I_F(0V)M = f(t)$
1 - $I_{FAV}(\text{vor}) = 0 \text{ A}; t_{vj} = t_c = 25^\circ\text{C}$
2 - $I_{FAV}(\text{vor}) = 1030 \text{ A}; t_c = 100^\circ\text{C}; t_{vj} = 160^\circ\text{C}$
a - $VR \leq 50 \text{ V}$
b - $VR = 0,5 \text{ VRMM}$
c - $VR = 0,8 \text{ VRMM}$



D269N_6

Bild / Fig. 4
Grenzstrom / Maximum overload forward current $I_F(0V)M = f(t)$
1 - $I_{FAV}(\text{vor}) = 0 \text{ A}; t_{vj} = t_c = 25^\circ\text{C}$
2 - $I_{FAV}(\text{vor}) = 1030 \text{ A}; t_c = 100^\circ\text{C}; t_{vj} = 160^\circ\text{C}$
a - $VR \leq 50 \text{ V}$
b - $VR = 0,5 \text{ VRMM}$
c - $VR = 0,8 \text{ VRMM}$

D 269 N

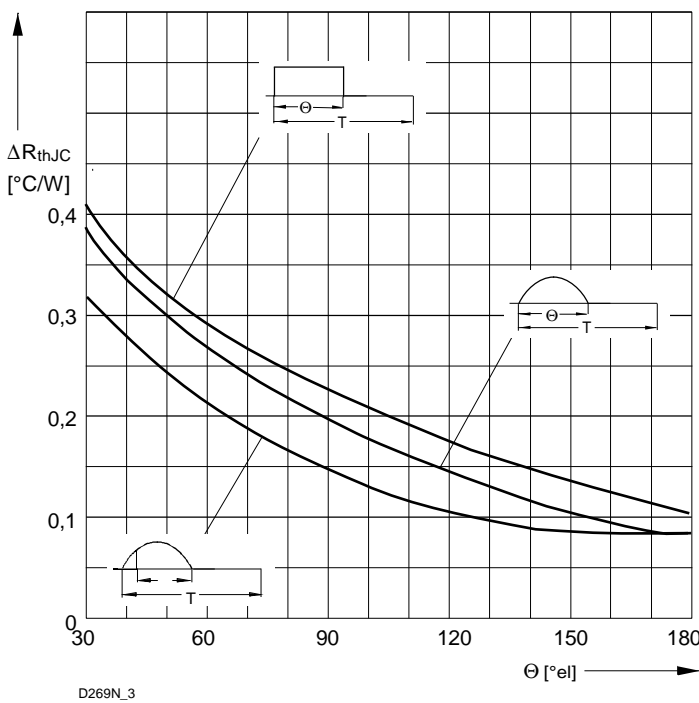


Bild / Fig. 5
Differenz zwischen den Wärmewiderständen
für Pulssstrom und DC
Difference between the values of thermal resistance for
pulse current and DC
Parameter: Stromkurvenform / Current waveform

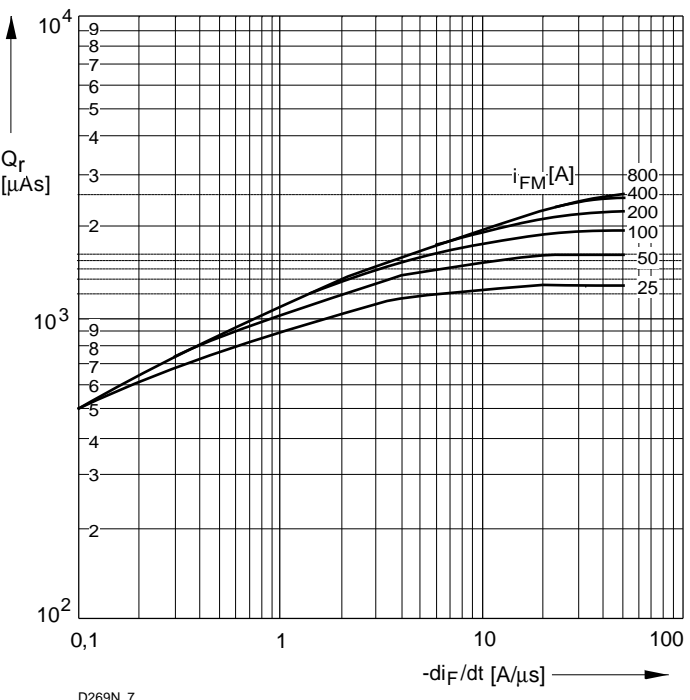


Bild / Fig. 6
Sperrverzögerungsladung / Recovered charge $Q_r = f(-di_F/dt)$
 $t_{vj} = tv_{jmax}$; $VR \leq 0,5 \text{ VR}_{RM}$; $VRM = 0,8 \text{ VR}_{RM}$
Beschaltung / Snubber: $C = 1 \mu\text{F}$; $R = 3,9 \Omega$
Parameter: Durchlaßstrom / Forward current i_{FM}

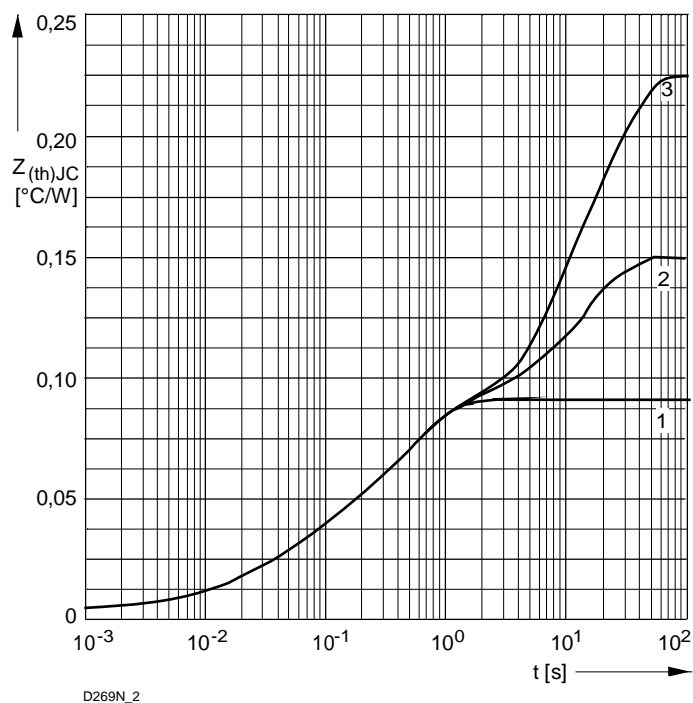


Bild / Fig. 7
Transienter innerer Wärmewiderstand
Transient thermal impedance $Z_{thJC} = f(t)$, DC
1 - Beidseitige Kühlung / Two-sided cooling
2 - Anodenseitige Kühlung / Anode-sided cooling
3 - Kathodenseitige Kühlung / Cathode-sided cooling

Analytische Elemente des transienten Wärmewiderstandes Z_{thJC} für DC
Analytical elements of transient thermal impedance Z_{thJC} for DC

| Kühlg. Cooling | Pos. n | 1 | 2 | 3 | 4 | 5 | 6 | 7 |
|-------------------|--|----------|----------|---------|---------|--------|--------|--------|
| 1 | $R_{thn} \text{ } ^{\circ}\text{C}/\text{W}$ | 0,000008 | 0,000922 | 0,00517 | 0,0015 | 0,0351 | 0,0338 | |
| | $\tau_n \text{ [s]}$ | 0,000032 | 0,000521 | 0,00301 | 0,0201 | 0,201 | 0,914 | |
| 2 | $R_{thn} \text{ } ^{\circ}\text{C}/\text{W}$ | 0,00062 | 0,00551 | 0,0109 | 0,01227 | 0,0449 | 0,0195 | 0,0563 |
| | $\tau_n \text{ [s]}$ | 0,000357 | 0,00277 | 0,0174 | 0,065 | 0,321 | 4,7 | 12,9 |
| 3 | $R_{thn} \text{ } ^{\circ}\text{C}/\text{W}$ | 0,00062 | 0,00593 | 0,01745 | 0,046 | 0,155 | | |
| | $\tau_n \text{ [s]}$ | 0,000358 | 0,00287 | 0,0252 | 0,269 | 12,9 | | |

- 1 - Beidseitige Kühlung / Two-sided cooling
- 2 - Anodenseitige Kühlung / Anode-sided cooling
- 3 - Kathodenseitige Kühlung / Cathode-sided cooling

Analytische Funktion / Analytical function

$$Z_{thJC} = \sum_{n=1}^{n_{\max}} R_{thn} (1 - \text{EXP}(-t/\tau_n))$$